

OFDM 시스템에서 PAPR 감소기법의 비선형 증폭기를 고려한 성능평가

*한창식, 서만중, 임성빈
 숭실대학교 정보통신전자공학부

e-mail : hanjja1004@ssu.ac.kr, smj77@amcs.ssu.ac.kr, sbi@ssu.ac.kr

Performance Evaluation of a PAPR Reduction Scheme in the OFDM System with an Nonlinear Amplifier

*Changsik Han, Manjung Seo and Sungbin Im
 School of Electronic Engineering
 Soongsil University

Abstract

This paper evaluated the performance of the PAPR reduction scheme[1], which is based on the time- and frequency-domain clippings. This evaluation is carried out on the OFDM system with an nonlinear amplifier, which is described by the Saleh's model.

I. 서론

OFDM (Orthogonal Frequency Domain Multiplexing) 통신 시스템은 단일 반송파 시스템에 비해 우수한 장점들을 가지고 있지만 복소 가우시안 분포 형태의 출력 샘플들은 높은 PAPR (Peak-to-Average Power Ratio)을 발생시키는 특징을 가지고 있다. 이러한 신호의 높은 첨두값 (peak)으로 인한 비선형 왜곡을 피하기 위하여 일반적으로 송신기에서는 상당한 크기의 백오프 (back-off)를 사용하여야 한다. 이로 인하여 증폭기의 출력이 낮아지며 또한 효율이 감소한다.

본 논문에서는 OFDM 시스템의 성능을 평가하기 위해 비선형 고출력 증폭기를 모델링 하고 비선형 고출력 증폭기를 통해 발생하는 비선형적 왜곡을 감소시키기 위해 시간 및 주파수 영역 클리핑 기반의 PAPR 감소기법[1]을 적용하여 시스템의 전력 효율 및 성능을 개선하고자 한다.

본 연구는 2단계 BK21의 지원으로 수행되었음

II. PAPR 감소기법 및 비선형 증폭기

2.1 PAPR 감소기법

본 논문에서는 OFDM 신호의 PAPR을 감소하기 위하여 클리핑 기반의 준최적화 방법을 사용하였다.

$$\begin{aligned}
 & \text{minimize} && p \\
 & \text{subject to} && \|\tilde{x}_i\| \leq p, i = 1, \dots, NL \\
 & && \tilde{x} = \text{IFFT}_1(\tilde{c}) \\
 & && \|S(\tilde{c} - c)\| \leq \epsilon \\
 & && \text{Re} \langle \tilde{S}\tilde{c}, S\tilde{c} \rangle \geq \|S\tilde{c}\|^2 - \epsilon^2/2 \\
 & \text{in variables} && p \in R, \tilde{c} \in C^N, \tilde{x} \in C^{NL}
 \end{aligned} \tag{1}$$

이 방법은 시간영역 신호에 대하여 클리핑을 사용하여 원하는 PAPR을 갖는 신호를 발생시키고 이로 인해 발생하는 대역 내 왜곡 (in-band distortion)과 대역 외 왜곡 (out-of-band distortion)을 주파수영역에서 클리핑과 필터링을 사용하여 감소시킨다. 대역 내 왜곡은 정상도 오차를 초래하므로 이 오차는 정상도의 오차 벡터 크기 (Error Vector Magnitude; EVM)에 의해서 정해지는 오차 한계 내로 제한하는 주파수 영역 클리핑을 적용한다. 대역 외 왜곡은 강제적으로 대역 외 밴드에 영 (zero)을 삽입함으로써 제거한다. 이러한 방식의 PAPR 감소기법은 기존의 수신기 구조를 그대로 사용할 수 있으며 계산량이나 구현 방법이 간단하다는 장점이 있는 반면에 전송신호의 PAPR은 최적의 해보다 개선 정도가 떨어지는 단점이 있다.

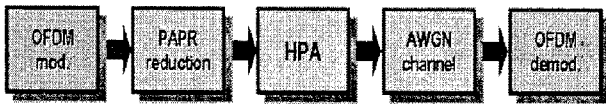


그림 1. 구성도

2.2 HPA의 비선형성

무선통신 시스템에서는 일반적으로 전송신호의 전력효율을 높이기 위해 증폭기를 사용한다. 하지만 수신시 비선형 왜곡에 의한 성능 열화가 발생한다. HPA (High Power Amplifier)는 AM/AM 변환과 AM/PM 변환에 의해 입력신호의 진폭에 따라 출력 신호의 진폭과 위상이 비선형적 특성을 보인다. 본 논문에서는 Saleh's two-parameter model을 사용하였고 특성식은 다음과 같다.

$$A(r) = \frac{1.9638r}{1 + 0.9945r^2}$$

$$\phi(r) = \frac{2.5293r^2}{1 + 2.8168r^2} \quad (2)$$

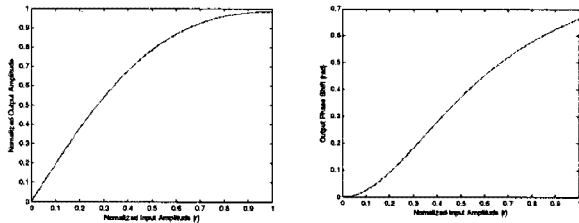
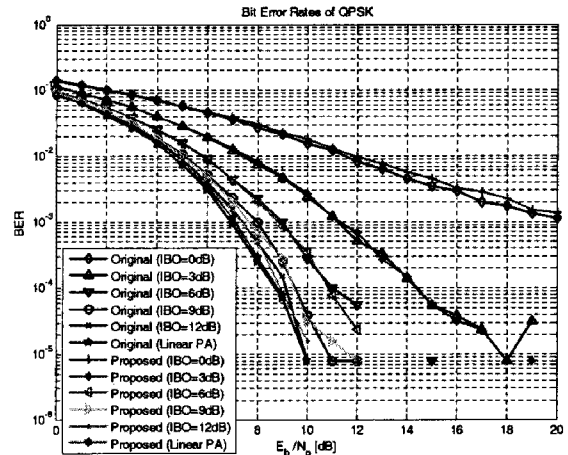


그림 2. 고출력 증폭기의 비선형 특성

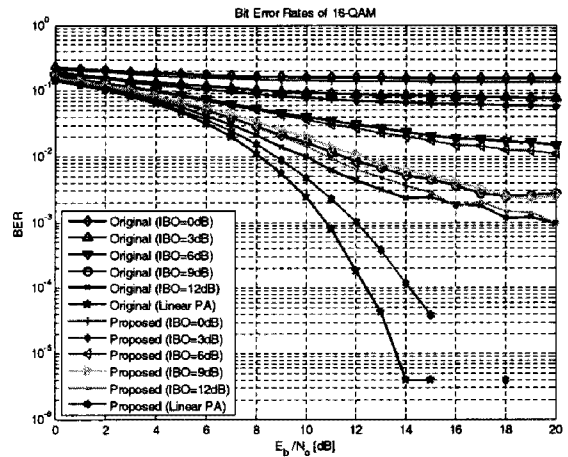
III. 모의실험 및 결과

HPA의 비선형 왜곡을 감소시키기 위해 제안된 PAPR 감소기법을 이용하여 비트오율 관점에서 모의실험을 통하여 성능을 검증하고자 한다.

그림 3(a)는 QPSK 변조에 대하여 클리핑 레벨 CL=7 dB, 심볼간 허용간격 δ 는 심볼 결정경계의 20%로 설정하고 64-FFT를 사용하였다. PAPR 감소기법을 적용한 신호와 적용하지 않은 신호에 Input back-off를 0 dB에서 12 dB까지 3 dB 단위로 변화시킨 후에 비선형 증폭기를 통해 출력된 신호의 비트오율을 비교하였다. 그림에 나타난 것처럼 QPSK 변조의 경우 두 신호의 비트오율차이가 거의 없다. 반면 그림 3(b)에 나타난 16-QAM 변조의 경우 제안된 PAPR 감소기법을 적용하였을 때 비트오율이 개선됨을 알 수 있다. 이런 현상은 변조 레벨이 증가함에 따라 결정경계가 좁아지기 때문에 HPA의 비선형성에 더욱 민감해지는 것에 기인한다. 따라서 PAPR을 감소시키면 비선형성에 대한 영향을 덜 받고 비트오율이 PAPR 감소 전보다 개선된다.



(a) QPSK (CL=7 dB, $\delta=0.2$)



(b) 16-QAM (CL=5 dB, $\delta=0.2$)

그림 3. 신호대 잡음비에 따른 비트오율

IV. 결론

본 논문에서는 OFDM 시스템의 성능 개선을 위해 비선형 고출력 증폭기를 모델링 하고 증폭기를 통해 발생하는 비선형적 왜곡을 감소시키기 위해 시간 및 주파수 영역 클리핑 기반의 PAPR 감소기법을 적용하여 성능을 평가하였다. 모의실험 결과에 따르면 QPSK 보다는 16-QAM과 같이 변조 레벨이 높을수록 PAPR 감소에 따라 HPA의 비선형 왜곡의 영향이 줄어드는 것을 관측하였다.

참고문헌

[1] 서만중, 임성빈, 김나훈, 조준경, "DVB-T 시스템에서 시간 및 주파수 영역 클리핑 기반의 PAPR 감소기법의 성능평가," 대한전자공학회논문지, vol. 44, no. 1, pp. 24-31, 2007년 1월.